

УДК 539.196.3 : 547.672

**НЕСПЕЦИФИЧЕСКАЯ СОЛЬВАТАЦИЯ,  
ПОЛЯРИЗУЕМОСТИ ВОЗБУЖДЕННЫХ СОСТОЯНИЙ  
И УФ СПЕКТРЫ ПОГЛОЩЕНИЯ АНТРАЦЕНА  
В ОБЛАСТИ ВТОРОГО ЭЛЕКТРОННОГО ПЕРЕХОДА**

*Бахшиев Н. Г., Коровина В. М., Питерская И. В.*

Исследовано влияние различных видов неспецифической сольватации на основные параметры (интенсивность, положение, форма) мощной полосы поглощения антрацена, отвечающей второму электронному переходу. С помощью современных методов спектроскопии конденсированного состояния осуществлено количественное разделение вкладов межмолекулярных сил разной природы (отталкивания, индуктивно-резонансных, дисперсионных) в смещение указанной полосы при фазовом переходе газ—раствор. На этой основе впервые изданная сольватохромия получено корректное значение поляризуемости молекулы антрацена в возбужденном электронном состоянии  $^1B_b$ , составляющее  $(70 \pm 10) \cdot 10^{-24} \text{ см}^3$ .

Исследования последних лет создали реальные предпосылки для количественного разделения вкладов различных видов межмолекулярных взаимодействий (ММВ) в изменение оптических спектров молекул при фазовом переходе газ—конденсированная среда [1–4]. Тем самым открылась возможность для более обоснованного решения такой актуальной задачи, как извлечение из смещения электронных спектров сведений о физических свойствах молекул в возбужденных состояниях [5]. Как известно, особую трудность указанная задача представляет в случае полос высокой интенсивности, положение которых определяется помимо прочих факторов значительным вкладом ММВ резонансной и индуктивно-резонансной природы [4–7].

Настоящая работа посвящена изучению влияния различных видов неспецифической сольватации на основные параметры (интенсивность, положение, форма) мощной полосы поглощения антрацена, отвечающей второму электронному переходу ( $\epsilon_{\max} \sim 200\,000 \text{ см}^{-1} \cdot \text{M}^{-1}$ ), и попытке извлечения из полученных данных информации о поляризуемости указанной молекулы в состоянии  $^1B_b$  [5, 8]. Следует подчеркнуть, что молекула антрацена и ее полосы поглощения уже давно являются модельными объектами при изучении общих закономерностей изменения электронных спектров в наиболее широком интервале фазовых состояний: газ—раствор—расплав—кристалл [9–13]. Это позволило, в частности, найти из данных по сольватохромии менее сильной длинноволновой полосы ( $\epsilon_{\max} \sim 8000 \text{ см}^{-1} \cdot \text{M}^{-1}$ ) значение поляризуемости молекулы антрацена в первом возбужденном электронном состоянии  $^1L_a$ , находящееся в хорошем согласии с результатами независимых определений [17]. Тем не менее применительно ко второму электронному переходу в указанной молекуле подобная задача, основанная на последовательном учете вкладов в смещение соответствующей спектральной полосы со стороны ММВ разной природы, пока не ставилась.

Экспериментальная часть работы состояла в измерении УФ спектров поглощения  $\chi(\nu)$  разбавленных растворов антрацена в области  $38\,000\text{--}48\,000 \text{ см}^{-1}$  при комнатной температуре. В качестве растворителей использовались органические жидкости, существенно отличающиеся как по своей химической природе, так и по физическим свойствам (табл. 1). Количественный учет вклада индуктивно-резонансных ММВ в формирование спектров  $\chi(\nu)$  осуществлялся с по-



газовой фазы. Для других растворов общая спектральная картина носит аналогичный характер. Основные параметры спектров  $\chi(\nu)$  и  $B(\nu)$  всех исследованных систем сведены в табл. 1 (графы 1—8). Как показывает рассмотрение полученных данных, они полностью подтверждают один из основных выводов работ [11—12], согласно которому учет вклада индуктивно-резонансных взаимодействий [т. е. переход от спектров  $\chi(\nu)$  к спектрам  $B(\nu)$ ] приводит к существенному сближению спектроскопических характеристик молекулы антрацена в растворе и в газовой фазе. Особенно наглядно это вытекает из сопоставления формы и интегральной интенсивности (силы осциллятора) соответствующих полос. Вместе с тем положение спектров растворов все же заметно отличается от такового для газовой фазы, что является следствием влияния на этот параметр со стороны ММВ других типов. Имея в виду основную задачу настоящей

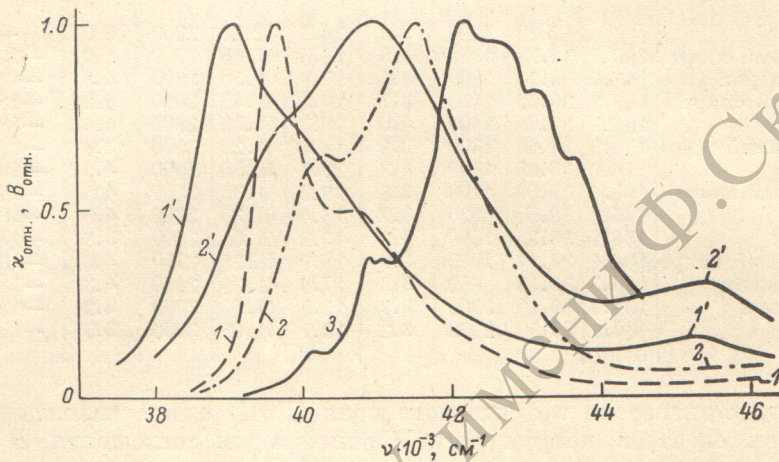


Рис. 1. Спектры  $\chi(\nu)$  (1, 1', 3) и  $B(\nu)$  (2, 2', 3) антрацена в различных фазовых состояниях.  
1, 2 — раствор в гексане; 1', 2' — раствор в хлороформе, 3 — газовая фаза.

работы — определение поляризуемости молекулы антрацена в состоянии  $^1B_b$ , представляет интерес проанализировать указанные различия более подробно.

Согласно [1, 5], общее выражение, описывающее вызванное неспецифической сольватацией смещение полос поглощения неполярной молекулы при фазовом переходе газ—раствор, имеет вид

$$\Delta\chi = \nu_x^{p-p} - \nu_{\text{газ}} = \Delta\nu_{\text{отт}}^a + \Delta\nu_{\text{рез}}^a + \Delta\nu_{\text{дисп}}^a, \quad (3)$$

где первый, второй и третий члены определяются соответственно межмолекулярными силами отталкивания и силами притяжения резонансного (индуктивно-резонансного) и дисперсионного характера. Как показано в работах [1, 2], для обычно используемых на практике рядов растворителей можно приближенно принять

$$\Delta\nu_{\text{отт}}^a \approx \text{const} = \overline{\Delta\nu_{\text{отт}}^a}, \quad (4)$$

где  $\overline{\Delta\nu^a}$  — среднее значение указанной величины. Используя допущение (4), а также учитывая, что

$$\Delta\nu_{\text{рез}}^a = \nu_x^{p-p} - \nu_B^{p-p}, \quad (5)$$

можно найти значения  $\Delta\nu_{\text{рез}}^a$  из данных табл. 1, оценив тем самым вклад индуктивно-резонансных ММВ в смещение полосы (графа 9). Наконец, комбинируя выражения (3), (4) и (5), нетрудно получить окончательно

$$\Delta\nu_B^a = \nu_B^{p-p} - \nu_{\text{газ}} = \overline{\Delta\nu_{\text{отт}}^a} + \Delta\nu_{\text{дисп}}^a, \quad (6)$$

где, согласно [1, 5],

$$\Delta\nu_{\text{дисп}}^a = \left\{ (\alpha_g - \alpha_e) \left[ \frac{3I_1 I_2}{2a_g^3 (I_1 + I_2)} \right] \right\} \frac{n_0^2 - 1}{n_0^2 + 2}. \quad (7)$$

Здесь  $\alpha_g$  и  $\alpha_e$  — поляризуемости молекулы растворенного вещества в основном и возбужденном состояниях,  $I_1$  и  $I_2$  — потенциалы ионизации взаимодействующих молекул,  $a_g$  — эффективный радиус взаимодействия для основного состояния,  $n_0$  — показатель преломления растворителя. Напомним, что выражение (7) было впервые получено в работе [18] на основе использования модели Онзагера и потенциала парного дисперсионного взаимодействия в форме Лондона, причем с его помощью найдены значения поляризуемостей ряда молекул в возбужденных состояниях, находящиеся в хорошем согласии с результатами независимых определений.

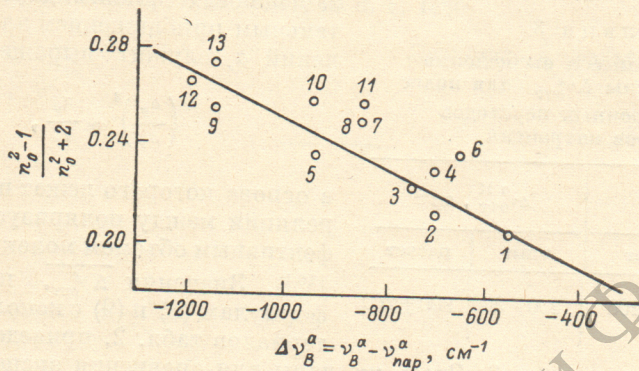


Рис. 2. Зависимость смещения спектра  $B$  ( $\nu$ ) антрацена в растворах от функции универсального взаимодействия  $(n_0^2 - 1)/(n_0^2 + 2)$ .

Цифры около точек — номер растворителя по табл. 1.

Используем соотношения (6) и (7) совместно с данными табл. 1 для извлечения из спектров новой информации — нахождения поляризуемости молекулы антрацена в возбужденном электронном состоянии  ${}^1B_b$ . Соответствующий график зависимости  $\Delta\nu_B^a$  (последняя графа табл. 1) от величины  $(n_0^2 - 1)/(n_0^2 + 2)$  представлен на рис. 2. Легко видеть, что требуемая формулой (7) линейность этой зависимости соблюдается вполне удовлетворительно. Полученное из угла наклона прямой значение  $\Delta\alpha = (43 \pm 10) \cdot 10^{-24} \text{ см}^3$  ( $a_g = 6.0 \text{ \AA}$ ,  $I_1 = 7.4 \text{ эВ}$ ,  $I_2 \approx 10 \text{ эВ}$ ) представляется нам более достоверным, чем значение  $\Delta\alpha \approx 100 \cdot 10^{-24} \text{ см}^3$  из работы [19], автор которой сам считает его завышенным. Данные о поляризуемостях молекулы антрацена в основном ( $\alpha_g$ ) и двух возбужденных ( $\alpha_e^I$  и  $\alpha_e^{II}$ ) электронных состояниях приведены в табл. 2. Эти данные свидетельствуют

Таблица 2  
Значения средней поляризуемости молекулы антрацена  
в различных электронных состояниях

$\alpha_g \cdot 10^{24}, \text{ см}^3$	$\alpha_e^I \cdot 10^{24}, \text{ см}^3$	$\alpha_e^{II} \cdot 10^{24}, \text{ см}^3$
27.6 [15]	41.2 [5], 46 [17]	$70 \pm 10$ (наши данные), $\sim 130$ [19]

о существенном возрастании указанной величины по мере роста энергии соответствующего уровня, что находится в согласии с общими теоретическими представлениями о характере изменения электронного строения молекул аценоов при оптическом возбуждении. Можно полагать, что полученные значения окажутся полезными при анализе результатов квантовохимических расчетов свойств указанных молекул в различных электронных состояниях.

Материалы табл. 2 впервые позволяют осуществить теоретическую оценку значений  $\Delta\nu_{\text{отт}}^a$ , обусловленных изменением соотношения между силами притя-

жения и отталкивания во франк-кондоновских состояниях сольватов [2, 3]. Действительно, согласно [2, 3],

$$\overline{\Delta v_{\text{отт}}^a} = a_g \left(1 - \frac{a_e^3}{a_g^3}\right) \left(\frac{3I_1 I_2}{2a_g^3 (I_1 + I_2)}\right) \frac{\bar{n}_0^2 - 1}{\bar{n}_0^2 + 2}, \quad (8)$$

где  $a_e$  — эффективный радиус взаимодействия для равновесного возбужденного состояния,  $\bar{n}_0$  — среднее значение показателя преломления растворителя, а смысл остальных величин ясен из вышеизложенного. Как показано в [1, 2] на примере растворов водорода и бензола, а в [3] — на примере растворов ряда замещенных фталимида, удовлетворительным приближением для оценки значений  $a_e$  служит выражение

$$\left(\frac{a_g}{a_e}\right)^3 \approx \frac{a_g}{a_e}, \quad (9)$$

Таблица 3

Экспериментальные и вычисленные значения величины  $\Delta v_{\text{отт}}^a$  для полос I и II электронных переходов растворов антрацена

$\Delta v_{\text{отт}}^{\text{I}}, \text{ см}^{-1}$		$\Delta v_{\text{отт}}^{\text{II}}, \text{ см}^{-1}$	
опыт	расчет	опыт	расчет
$200 \pm 100$	$500 \pm 200$	$1200 \pm 300$	$900 \pm 200$

полос антрацена в табл. 3. Здесь же даны для сравнения экспериментальные значения указанной величины [отрезок, отсекаемый на оси абсцисс продолжением прямой, описывающей зависимость  $\Delta v_B^a = \Delta v^a(n_0)$ ]. В случае первой полосы соответствующие данные заимствовались из [5] (рис. 3.31, б монографии [5]), для второй полосы значения  $\Delta v_{\text{отт}}$  находились из рис. 2. Как показывает сопоставление результатов расчета и опыта, между ними наблюдается хорошее соответствие, что служит дополнительным важным аргументом в пользу достоверности значений, приведенных в табл. 2.

Таким образом, материалы настоящего исследования подтверждают высказанное в начале статьи мнение о том, что современные полуэмпирические методы спектроскопии ММВ позволяют осуществлять достаточно надежное количественное разделение вкладов межмолекулярных сил разной природы в изменение положения оптических спектров молекул под влиянием растворителей. Применительно к сольватационному смещению полосы поглощения, отвечающей второму электронному переходу в молекуле антрацена, указанные вклады, усредненные по различным растворителям, составляют

$$\Delta v_{\text{отт}}^a = +1400 \pm 400 \text{ см}^{-1}, \Delta v_{\text{рез}}^a = -1700 \pm 400 \text{ см}^{-1}, \Delta v_{\text{дисп}}^a = -2400 \pm 500 \text{ см}^{-1}. \quad (10)$$

Отметим в заключение, что оценки типа (10) могут относиться не только к смещению, но и к другим характеристикам спектров (так, в работах [20, 21] с этой точки зрения анализировалась с использованием метода ДЭП полуширина колебательных полос). Представляется очевидным, что такого рода оценки должны стать необходимым этапом при корректном определении физических параметров молекул (в том числе и изменения поляризуемости при оптическом возбуждении) методами спектроскопии конденсированного состояния вещества.

#### Литература

- [1] Бахшиев Н. Г., Гирин О. П. — Опт. и спектр., 1976, т. 41, в. 2, с. 214.
- [2] Свердлова О. В., Бахшиев Н. Г. — Опт. и спектр., 1977, т. 42, в. 2, с. 288.
- [3] Бахшиев Н. Г. — Тр. ГОИ, 1979, т. 45, в. 179, с. 3.
- [4] Либов В. С. — ЖФХ, 1980, т. 54, с. 817.
- [5] Бахшиев Н. Г. Спектроскопия межмолекулярных взаимодействий. Л., 1972.
- [6] Агронович В. М. — УФН, 1974, т. 112, с. 143.
- [7] Бахшиев Н. Г., Либов В. С., Перов Т. С. — ДАН СССР, 1978, т. 238, с. 1124.
- [8] Platt J. — J. Chem. Phys., 1949, v. 17, p. 484.
- [9] Шагапов И. И., Либов В. С. — Опт. и спектр., 1977, т. 42, в. 1, с. 204.
- [10] Альперович Л. И., Хрипунов П. К. — Опт. и спектр., 1977, т. 42, в. 5, с. 878.

- [11] Коровина В. М., Бахшиев Н. Г. — Опт. и спектр., 1979, т. 47, в. 3, с. 486.
- [12] Коровина В. М., Либов В. С., Соловьева Г. С., Шаганов И. И. — ЖФХ, 1979, т. 53, с. 750.
- [13] Kitagawa T. — J. Mol. Spectr., 1968, v. 26, p. 1.
- [14] Альперович Л. И. Метод дисперсионных соотношений. Душанбе, 1973.
- [15] Вукс М. Ф. — Опт. и спектр., 1966, т. 20, в. 4, с. 644.
- [16] Волькенштейн М. В. Молекулярная оптика. М.—Л., 1951.
- [17] Mathies R., Albrecht A. — J. Chem. Phys., 1974, v. 60, p. 2500.
- [18] Бахшиев Н. Г., Гирин О. П., Питерская И. В. — Опт. и спектр., 1968, т. 24, в. 5, с. 901.
- [19] Mogaless R. — J. Phys. Chem., 1982, v. 86, p. 2550.
- [20] Бахшиев Н. Г., Зеликман П. И. — ДАН СССР, 1980, т. 250, № 1, с. 128.
- [21] Либов В. С. — ЖФХ, 1983, т. 57, № 6, с. 1430.

Поступило в Редакцию 5 июля 1982 г.